## PHYTOPLANCTON DU LEMAN

#### THE PHYTOPLANKTON OF LAKE GENEVA

#### **CAMPAGNE 2023**

PAR

#### Frédéric RIMET

INRA UMR CARRTEL, CS 50 511, F - 74203 THONON LES BAINS Cedex

# RÉSUMÉ

En 2023, 18 campagnes de prélèvements ont été effectuées à la station SHL2 afin d'analyser l'évolution qualitative et quantitative des communautés phytoplanctoniques. Le début de l'année se caractérise par des biomasses faibles et dominées par des taxons indicateurs de milieux brassés et oligotrophes (petites diatomées centriques et Cryptophycées). Puis à partir d'avril, la biomasse augmente fortement pour atteindre un maximum le 19 avril (3423  $\mu g \cdot L^{-1}$ ) et la composition taxonomique change : le compartiment est dominé par une diatomée pennée (Diatoma elongatum). En juin et début juillet, ce sont les Dinobryon, des espèces indicatrices de milieux oligotrophes qui dominent le compartiment. En fin d'été (juillet aout) la biomasse augmente fortement pour atteindre un maximum le 26 juillet (4809  $\mu g P \cdot L^{-1}$ ). La biomasse est dominée par des chlorophycées. A partir de septembre la biomasse diminue progressivement pour atteindre un minimum le 135  $\mu g \cdot L^{-1}$  le 19 décembre.

La biomasse de l'année 2023 présente une biomasse annuelle moyenne (1576  $\mu g \cdot L^{-1}$ ) comparable à celles des années 2017-2021. Cette biomasse annuelle reste supérieure à l'objectif proposé par la CIPEL, qui est de ne pas dépasser 1000  $\mu g \cdot L^{-1}$ . La particularité de l'année 2023 est d'avoir une proportion en Chlorophycées (32%) supérieure à celles de toutes les années précédentes (10% en moyenne sur toute la chronique) ; il s'agit de la 3ème biomasse la plus élevée en Chlorophycées de toute la chronique après celles de 2004 (579  $\mu g \cdot L^{-1}$ ) et 2002 (518  $\mu g \cdot L^{-1}$ ).

Enfin, l'indice de Brettum, qui évalue le niveau trophique du lac en se basant sur la composition en espèces du phytoplancton, donne un état écologique du lac de « bonne » qualité pour l'année 2023 (classification selon « intercalibration lake type »). La valeur de 2023 est la plus élevée de toute la chronique, mais reste inférieure à l'objectif de la Cipel (4).

## **ABSTRACT**

In 2023, 18 sampling campaigns were carried out at station SHL2 to analyze the qualitative and quantitative evolution of phytoplankton communities. The beginning of the year is characterized by low biomass, dominated by taxa indicative of mixed and oligotrophic environments (small centric diatoms and Cryptophyceae). From April onwards, biomass rises sharply, reaching a maximum on April 19 (3423  $\mu$ g-L<sup>-1</sup>), and the taxonomic composition changes: the compartment is dominated by a pennate diatom (Diatoma elongatum). In June and early July, Dinobryon, species indicative of oligotrophic environments, dominate the compartment. At the end of summer (July-August), biomass rises sharply, reaching a maximum on July 26 (4809  $\mu$ gP-L<sup>-1</sup>). Biomass is dominated by chlorophyceae. From September onwards, biomass gradually decreases, reaching a minimum of 135  $\mu$ g-L<sup>-1</sup> on December 19.

Biomass for the year 2023 shows an average annual biomass (1576  $\mu$ g-L<sup>-1</sup>) comparable to those for the years 2017-2021. This annual biomass remains higher than the objective proposed by CIPEL, which is not to exceed 1000  $\mu$ g-L<sup>-1</sup>. The particularity of the year 2023 is that the proportion of Chlorophyceae (32%) is higher than in all previous years (10% on average over the whole chronicle); this is the 3rd highest Chlorophyceae biomass of the whole chronicle, after those of 2004 (579  $\mu$ g-L<sup>-1</sup>) and 2002 (518  $\mu$ g-L<sup>-1</sup>).

Finally, the Brettum index, which assesses the trophic level of the lake based on the species composition of phytoplankton, gives a lake ecological status of "good" quality for the year 2023 (classification according to "intercalibration lake type"). The 2023 value is the highest in the entire chronicle, but remains below the Cipel objective (4).

#### 1. INTRODUCTION

Le phytoplancton est le principal producteur primaire des réseaux trophiques des écosystèmes pélagiques. Il constitue de ce fait un élément essentiel dans la compréhension du fonctionnement des lacs. Il présente une diversité exceptionnelle et sa composition en espèces change entre les saisons et d'année en année. C'est par conséquent un indicateur écologique de choix pour les lacs.

Le compartiment phytoplanctonique a fait l'objet d'un suivi durant l'année 2023 à la station SHL2, localisée au centre du Grand Lac au point le plus profond, entre Evian et Lausanne. Cette étude comporte l'analyse de l'évolution qualitative et quantitative des communautés phytoplanctoniques. Différentes métriques, telles que la biomasse, la diversité (indice de Shannon), les groupes fonctionnels de Reynolds et al. (2002), ainsi que l'indice trophique de Brettum (1989), ont été calculés sur toute la série chronologique (1974-2022). Les concentrations en chlorophylle a, la production phytoplanctonique et les picocyanobactéries font l'objet de chapitres séparés.

## 2. MÉTHODES

Pour le Grand Lac, le phytoplancton a été récolté de janvier à décembre 2023 dans les 18 premiers mètres de la colonne d'eau à l'aide d'une cloche intégratrice d'eau brute (Cloche IWS). Ces prélèvements ont été effectués une fois par mois en avril, octobre, novembre, décembre et deux fois par mois les autres mois. Au total, 20 campagnes ont été menées en 2023.

Les échantillons d'eau brute sont fixés au Lugol ; puis des sous-échantillons d'un volume de 25 mL sont prélevés et mis à sédimenter. Les examens qualitatifs et quantitatifs se font au microscope inversé selon la technique Utermöhl (1958), méthode maintenant normalisée au niveau français et européen (Afnor 2006). Les résultats des biomasses algales sont exprimés en µg·L-1. Le détail des protocoles est donné dans Druart & Rimet (2008).

Différentes métriques ont été calculées à partir des listes floristiques :

- la biomasse des classes algales (sensu Bourelly 1972, 1981, 1985)
- la biomasse des taxons dominants
- la biomasse des classes de tailles (micro et nanophytoplancton)
- la diversité phytoplanctonique (indice de Shannon, Weaver & Shannon 1949)
- un indice de qualité trophique (Indice de Brettum calculé selon Kaiblinger et al, 2009)
- les groupes fonctionnels (ou guildes écologiques) selon Reynolds et al. (2002)

#### 3. RESULTATS ET DISCUSSION

## 3.1. ÉVOLUTION SAISONNIÈRE DE L'ANNÉE 2023

#### 3.1.1. Évolution des classes d'algues et des taxons dominants

Pour le Grand Lac, plusieurs phases peuvent être distinguées au cours de l'année 2023 (Figures 1 et 2) :

- Une phase hivernale (2 février au 7 mars) : cette phase est caractérisée par des biomasses dominées par des Cryptophycées de petites taille (*Plagioselmis* spp.) et des petites diatomées centriques (*Cyclotella costei*) qui sont classiquement observées à cette période. Elles sont adaptées aux milieux brassés et oligotrophes. On note la présence dans une moindre mesure de *Fragilaria crotonensis*, une diatomée pennée, qui est normalement observée plus tard dans la saison, lorsque la masse d'eau est stratifiée.
- Une phase printanière (19 avril au 22 mai): pendant cette phase, la biomasse augmente fortement pour atteindre un pic de 3423 μg·L<sup>-1</sup> le 19 avril. C'est une grande diatomée pennée, *Diatoma elongatum* qui constitue l'essentiel de la biomasse de ce pic: ce taxon est capable de se développer avec des concentrations faibles en nutriments et en silice (Kilham et al. 1977). Elle est accompagnée de biomasses relativement importantes de *Chlamydomonas* sp., une Chlorophycée mobile indicatrice de milieux mésotrophes (Padisak et al. 2009).
- Une phase estivale précoce (13 juin au 10 juillet). On retrouve pendant cette phase une composition taxonomique observée les années précédentes à la même période : *Dinobryon sociale* var. *americanum* qui est une espèce mixotrophe indicatrice de milieux oligotrophes (accompagné d'autres espèces de *Dinobryon* ayant des écologies similaires), *Fragilaria crotonensis* une grande diatomées pennée élective de milieux stratifiés.
- Une phase estivale tardive (26 juillet au 21 aout): la biomasse augmente fortement pour atteindre la valeur maximale de l'année le 26 juillet : 4809 μg·L<sup>-1</sup>. Une valeur de biomasse aussi élevée n'avait pas été observée depuis le mois de mai 2017 (6432 μg·L<sup>-1</sup> et qui avait été le fait de deux espèces, une Diatomées pennée et une Chlorophycée). Cette biomasse est très largement constituée de *Micractinium pusillum*. Cette espèce coloniale appartient au groupe fonctionnel F (Reynolds et al. 2002, Padisak et al. 2009), qui regroupe les espèces vivant dans les épilimnions clairs et qui tolèrent de faibles concentrations en nutriments. Elle est accompagnée d'une autre Chlorophycée non-coloniale, *Monoraphidium minutum* vivant dans les milieux riches en nutriments (Reynolds et al. 2002). La présence de ces deux espèces avec de telles biomasses n'est pas commune dans le Léman.
- Une phase automnale et hivernale (7 septembre au 19 décembre) : la biomasse diminue progressivement tout au long de cette phase pour atteindre un minimum le 19 décembre (135 μg·L<sup>-1</sup>). En début de phase, *Monoraphidium minutum* (accompagné d'une autre espèce du même genre proche écologiquement, *M. circinale*) domine le compartiment puis sa biomasse diminue pour disparaitre en décembre. Pour les mois de novembre et décembre, la composition de la communauté phytoplanctonique est assez classique, avec la dominance de Cryptophycées (*Plagioselmis* spp., *Cryptomonas* sp.) qui présentent habituellement des biomasses relatives importantes en période hivernale.

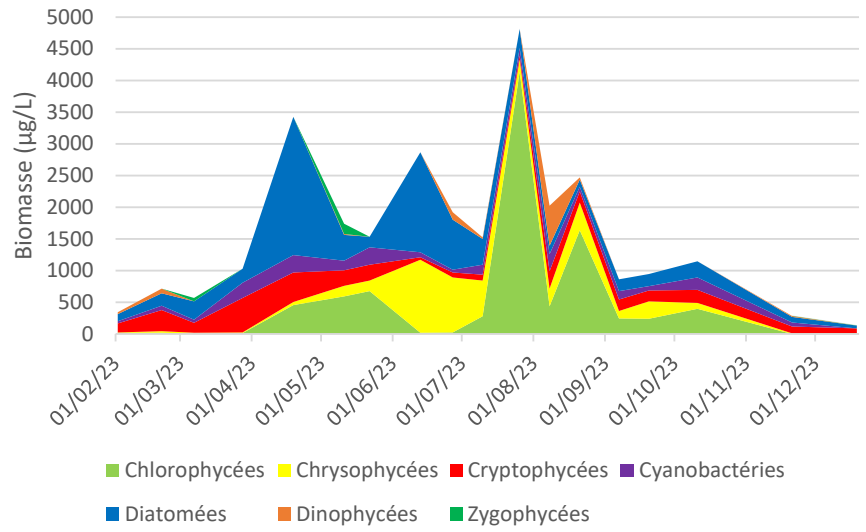


Figure 1. Variations mensuelles de la biomasse du phytoplancton par classe algale (sensu Bourrelly 1972, 1981, 1985) dans le Grand Lac (SHL 2) en 2023

Figure 1. Monthly changes in the biomass of phytoplankton groups (sensu Bourrelly, 1972, 1981, 1985) in Upper Lake Geneva in 202

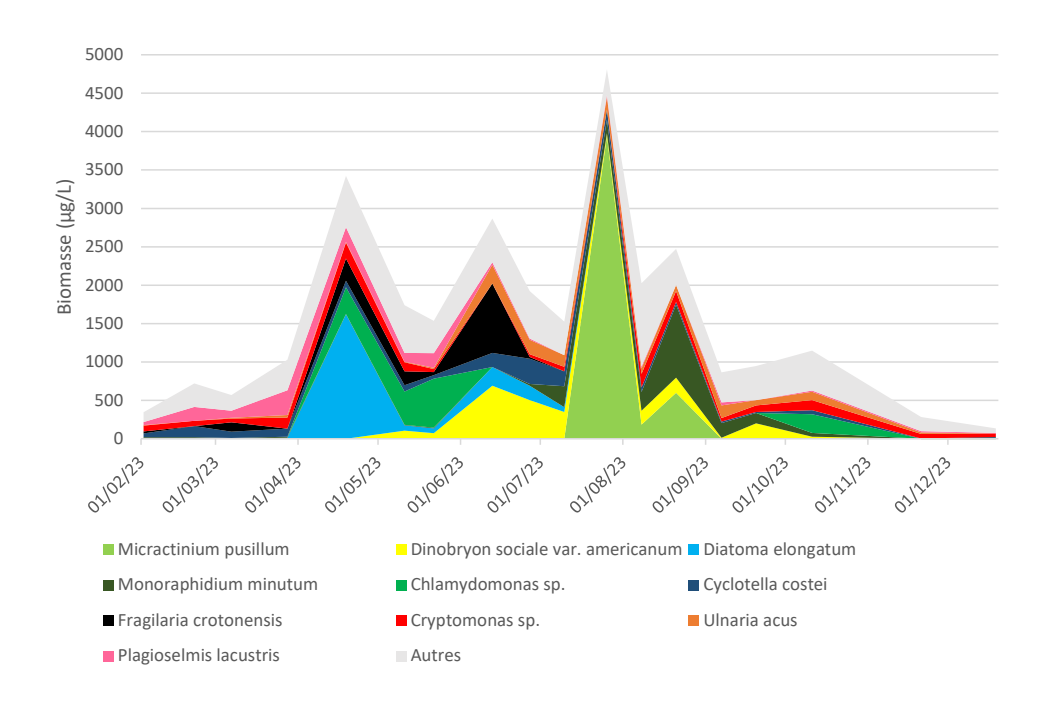


Figure 2. Variations mensuelles de la biomasse des principaux taxons du phytoplancton dans le Grand Lac (SHL 2) en 2023 Figure 2. Monthly changes in the biomass of the dominant phytoplankton taxa in Upper Lake Geneva in 2023

## 3.1.2. Évolution du micro- et du nanophytoplancton

Les taxons nanophytoplanctoniques ont une longueur inférieure à 20  $\mu$ m et un biovolume inférieur à 10 000  $\mu$ m<sup>3</sup>, ceux du microphytoplancton une longueur supérieure à 20  $\mu$ m et/ou un biovolume supérieur à 10 000  $\mu$ m<sup>3</sup>. Le nanophytoplancton est préférentiellement brouté par le zooplancton.

La Figure 3 présente la dynamique de ces deux compartiments dans le Grand Lac pour l'année 2023.

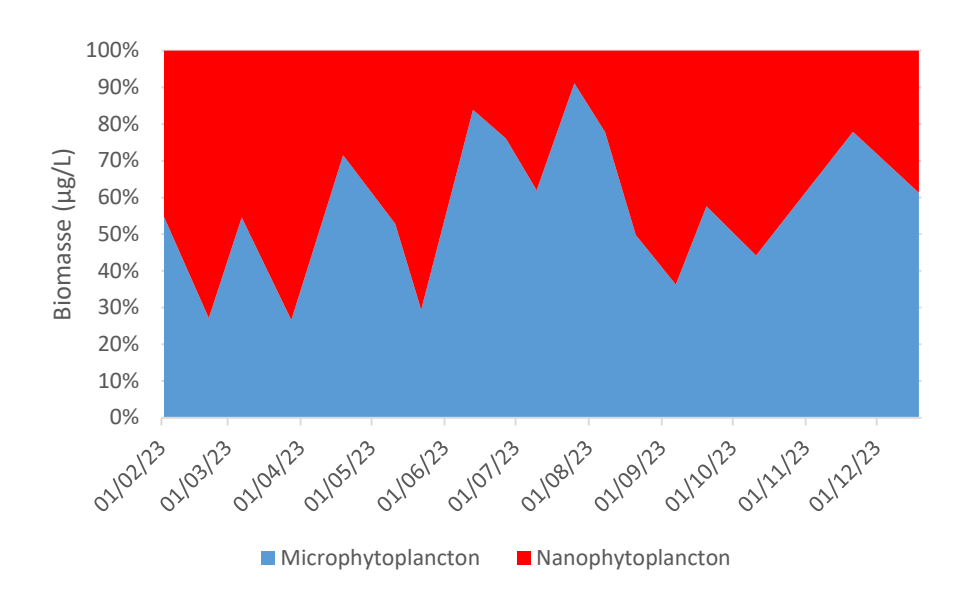


Figure 3. Variations mensuelles de la biomasse du phytoplancton par classes de taille dans le Grand Lac (SHL 2) en 2023. Figure 3. Monthly change of phytoplankton biomass by size class in Upper Lake Geneva during 2023.

En 2023, le microphytoplancton domine la biomasse de l'année dans 12 échantillons sur 18 (65 % de la biomasse moyenne annuelle). C'est surtout pendant l'été (du 13 juin au 8 aout) que le microphytoplancton domine largement le compartiment avec 78% de la biomasse en moyenne.

## 4. ÉVOLUTION INTER-ANNUELLE

#### 4.1. ÉVOLUTION DES CLASSES D'ALGUES

La Figure 4 présente l'évolution inter-annuelle des principales classes d'algues (sensu Bourrelly 1972, 1981, 1985) dans le Grand Lac.

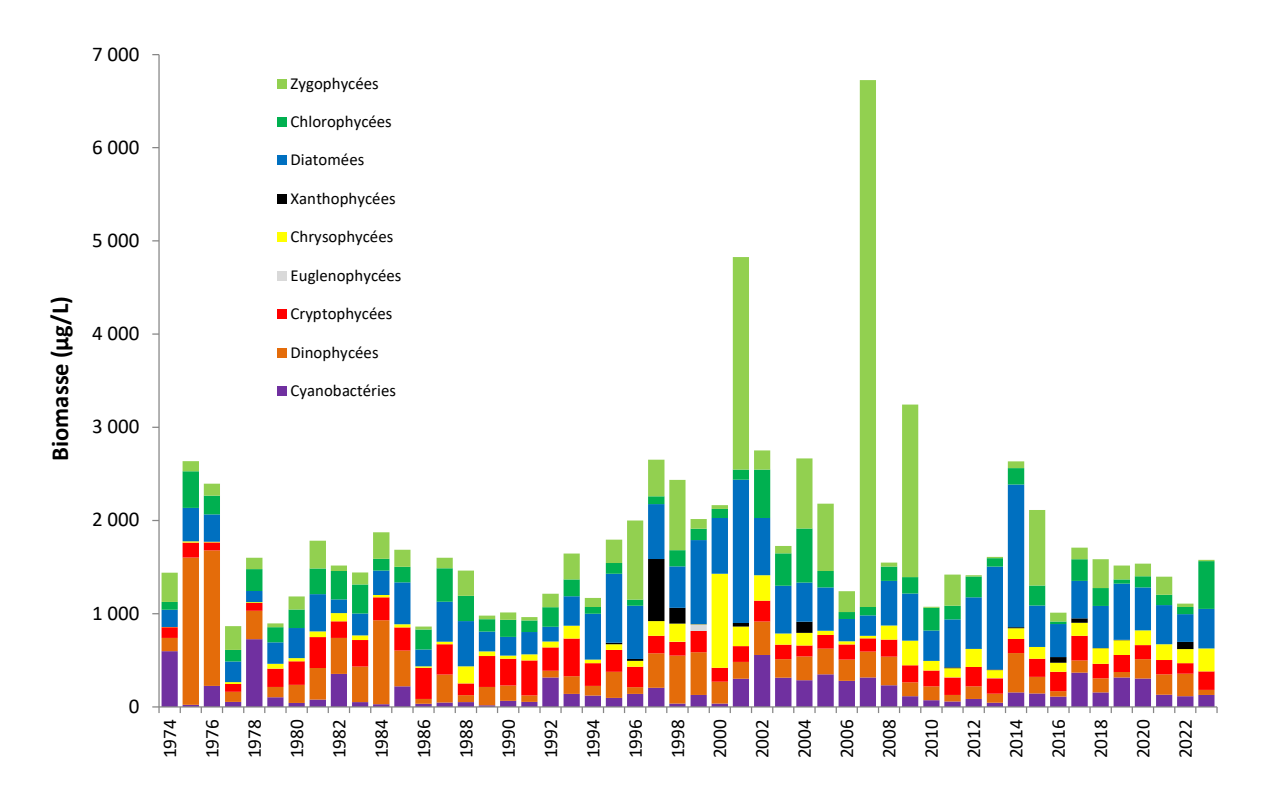


Figure 4. Évolution inter-annuelle des principales classes algales (biomasse annuelle moyenne) dans le Grand Lac (SHL2). La CIPEL a fixé à  $1000 \ \mu g \cdot L^{-1}$  la biomasse annuelle moyenne à ne pas dépasser dans le Léman.

Figure 4. Inter-annual variation in annual mean biomass of major phytoplankton groups in Upper Lake Geneva. The CIPEL's objective is to not exceed an average annual biomass of 1000  $\mu$ g·L<sup>-1</sup> in Lake Geneva.

La biomasse de l'année 2023 présente une biomasse annuelle moyenne (1576  $\mu g \cdot L^{-1}$ ) comparable à celles des années 2017-2021. Cette biomasse annuelle reste supérieure à l'objectif proposé par la CIPEL, qui est de ne pas dépasser 1000  $\mu g \cdot L^{-1}$ .

La particularité de l'année 2023 est d'avoir une proportion en Chlorophycées (32.0%) supérieure à celles de toutes les années précédentes (10% en moyenne sur toute la chronique) ; il s'agit de la 3ème biomasse la plus élevée en Chlorophycées de toute la chronique après celles de 2004 (579 µg·L<sup>-1</sup>) et 2002 (518 µg·L<sup>-1</sup>).

#### 4.1.1. Évolution de la diversité

Un indice de diversité annuelle a été calculé sur la chronique 1974-2023. Pour chaque prélèvement, l'indice de Shannon est calculé. Un indice moyen pour chaque mois est calculé, puis à partir de ces indices mensuels, un indice annuel moyen est calculé, ainsi que le 10<sup>e</sup> et 90<sup>e</sup> centile. L'évolution de ces valeurs est donnée sur la figure 5.

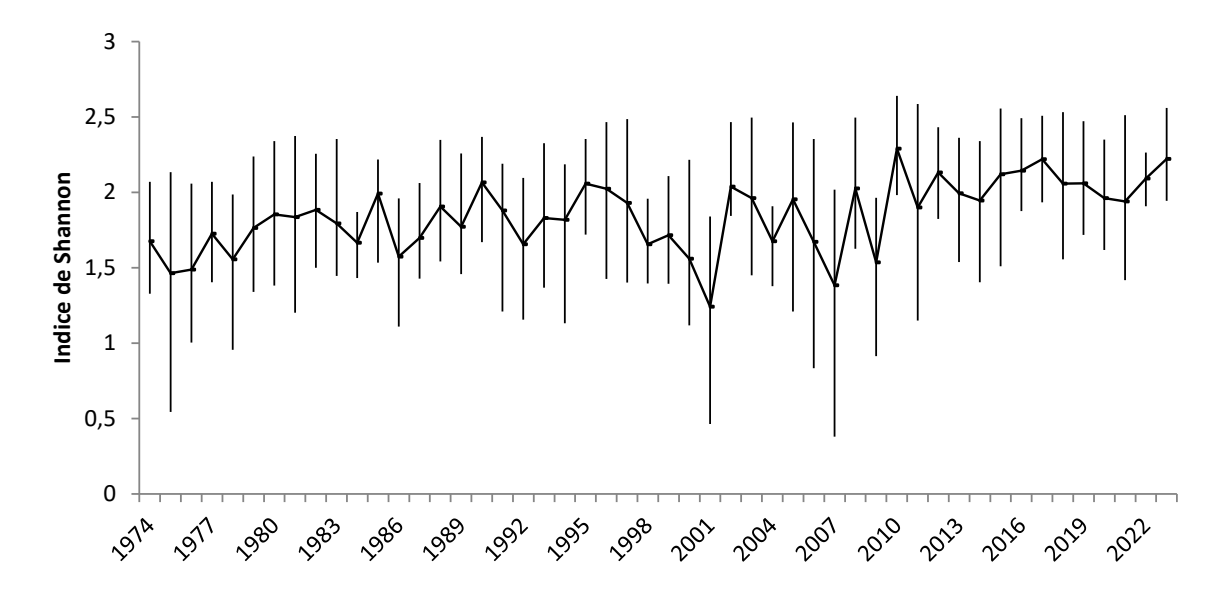


Figure 5. Évolution inter-annuelle de l'indice de diversité de Shannon dans le Grand Lac (SHL2). La ligne représente l'évolution de la moyenne, les extrémités de la barre verticale, le 10e et le 90e centile.

Figure 5. Inter-annual variation of the Shannon diversity index in the Upper Lake of Geneva. The line represents the average annual diversity, the vertical bars the 10th and 90th percentiles.

La diversité peut être un indicateur de l'état trophique (concentrations en nutriments) en milieu aquatique : des relations sont régulièrement établies entre diversité et concentration en nutriments (e.g. Russel-Hunter 1970, Schelske & Stoermer 1971). L'indice est relativement stable sur toute la chronique depuis 1974. Cependant, ce sont les années récentes, qui présentent les diversités les plus élevées et dont 2023 fait partie (par ordre de diversité décroissante : 2010, 2023, 2017, 2016, 2012, 2015, 2022, 1990, 2018).

Certaines années (2001, 2007 et 2009) présentent de faibles diversités : cela correspond aux blooms de *Mougeotia gracillima* (Zygophycées) qui ont dominé fortement le peuplement phytoplanctonique.

# 4.1.2. Évolution de l'indice trophique phytoplancton Brettum

L'état trophique des lacs peut aussi être évalué à partir d'indices basés sur la composition taxonomique et la biomasse phytoplanctonique. Une étude (Kaiblinger *et al.* 2009) a montré que l'indice de Brettum (1989) est bien adapté pour évaluer le niveau trophique des grands lacs alpins. Cet indice donne pour 133 taxons leur préférence par rapport à la concentration en Ptot (phosphore total) selon sept classes. Ces classes de concentration en phosphore total telles que définies dans l'indice de Brettum sont indiquées dans le Tableau 1 avec leur correspondance à l'état trophique. Plus cet indice est élevé, plus l'état trophique est faible (oligotrophe).

Tableau 1. Classes de qualité définies dans l'indice de Brettum. [Ptot] : concentration en phosphore total en  $\mu g \cdot L^{-1}$ Table 1. Quality categories defined in the Brettum index. [Ptot] : total phosphorus concentration in  $\mu g \cdot L^{-1}$ 

Classes	[Ptot]	État trophique
6	<= 5 μg·L <sup>-1</sup>	Ultra-oligotrophe
5	5-8 μg·L <sup>-1</sup>	Oligotrophe
4	8-15 μg·L <sup>-1</sup>	Oligo-mesotrophe
3	15-30 μg·L <sup>-1</sup>	Meso-eutrophe
2	30-60 μg·L <sup>-1</sup>	Eutrophe
1	> 60 µg·L <sup>-1</sup>	Hyper-eutrophe

La Figure 6 présente l'évolution de cet indice pour le Grand Lac. Les limites de classes de qualités écologiques sont reprises de l'exercice d'intercalibration européen de Wolfram *et al.* (2007).

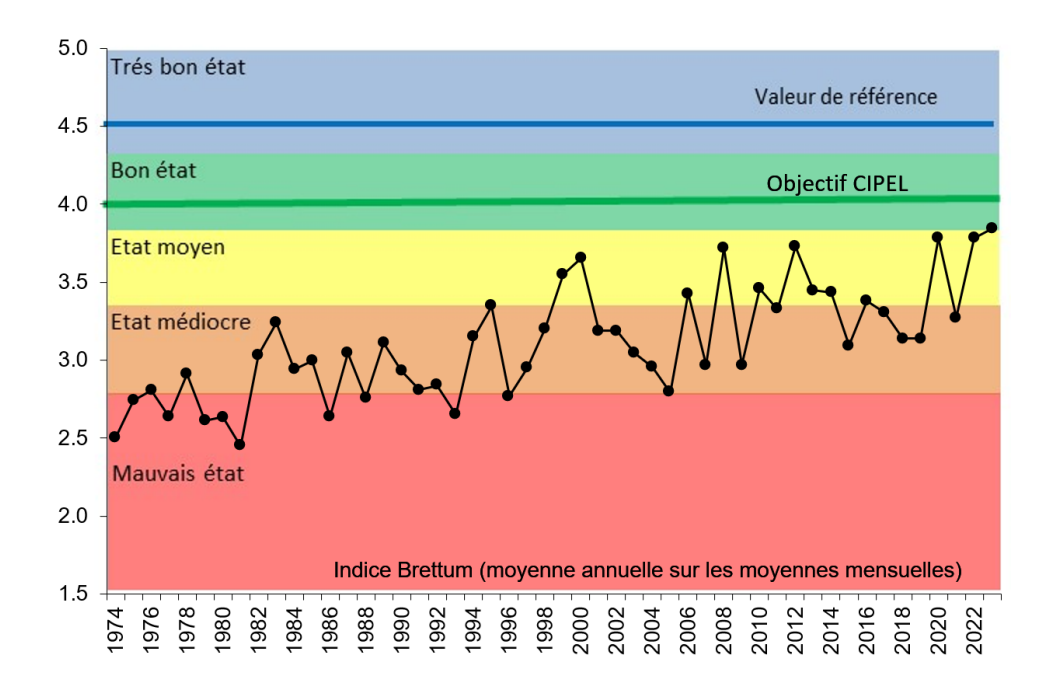


Figure 6. Évolution de l'indice trophique phytoplancton Brettum (1989) dans le Grand Lac (SHL2). Les valeurs des limites de classes de qualité écologiques correspondent aux lacs du type L-AL-3 (Large alpine lakes) selon l'intercalibration Lake type (Wolfram et al. 2007). La CIPEL a fixé à 4 l'objectif à atteindre pour le Léman. La valeur de référence correspond à un écosystème non impacté par les activités humaines.

Figure 6. Long-term trends of the Brettum index. Ecological state boundaries for lake type L-AL-3 (Large alpine lakes) are taken from Wolfram et al. (2007). The CIPEL fixed an objective of 4 for Lake Geneva. The reference value corresponds to the value expected in a lake unimpacted by human activities.

Globalement une amélioration de la qualité des eaux est observable depuis 1974. Entre 1974 et 1980 le Léman était eutrophe (état médiocre) selon l'indice de Brettum. Actuellement, L'indice présente un état oligomésotrophe, indiquant une amélioration de l'état trophique.

L'année 2023 classe le lac dans un bon état (valeur = 3.84). Cette valeur, qui se situe juste au-dessus de la limite entre la qualité moyenne et bonne (3.83), est la plus élevée de toute la chronique. Elle reste cependant éloignée de l'objectif de la Cipel (4), mais s'approche de la valeur de référence (4.62).

## 4.1.3. Évolution des groupes fonctionnels

La dynamique inter-annuelle de certains groupes fonctionnels de Reynolds *et al.* (2002) est donnée à la Figure 7. L'Annexe 1 présente la liste des différents groupes fonctionnels de Reynolds *et al.* (2002).

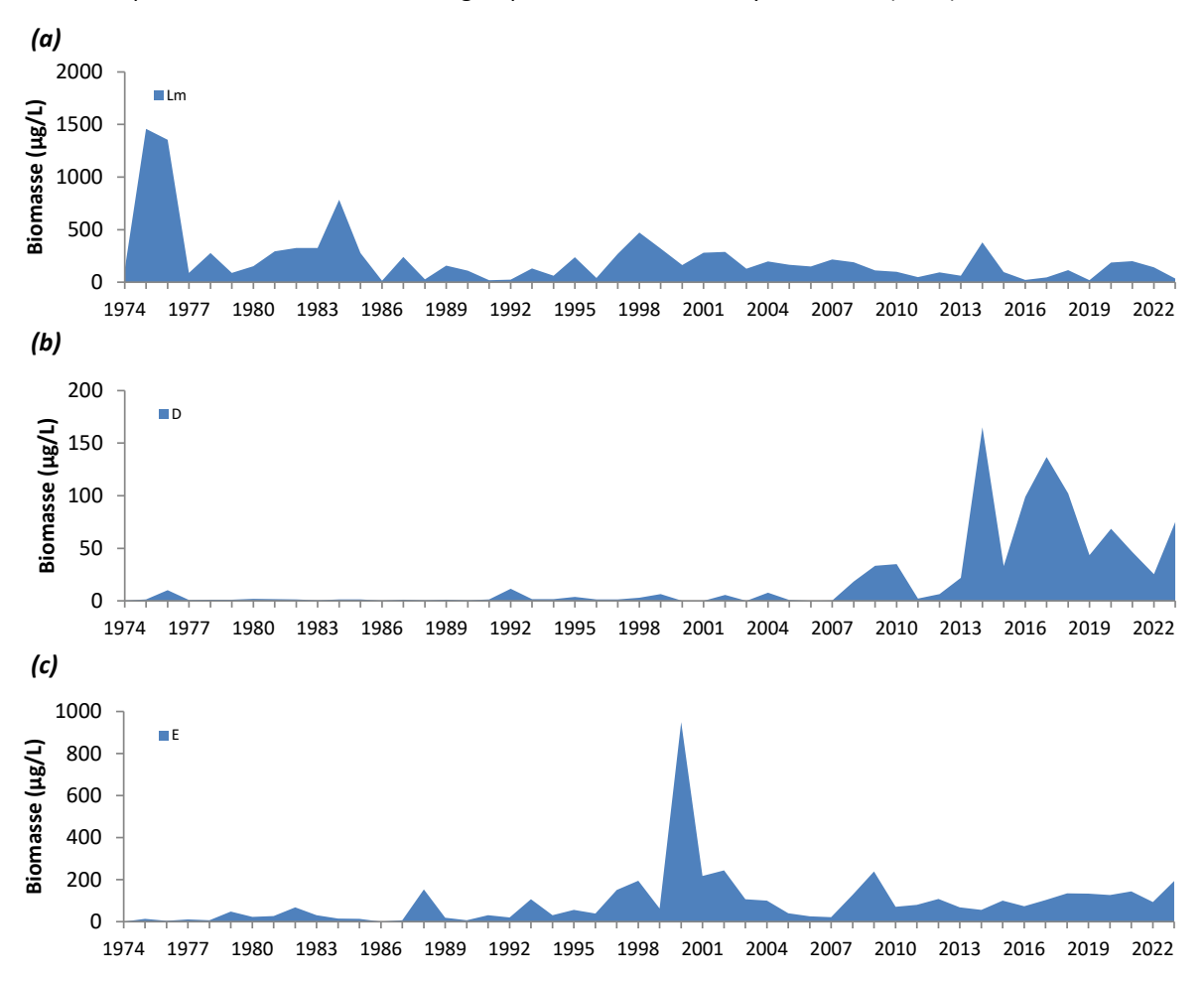


Figure 7. Évolution de la dynamique inter-annuelle des groupes fonctionnels (a) Lm, (b) E et (c) D de Reynolds et al. (2002), dans le Grand Lac (SHL2)

Figure 7. Long-term changes in annual biomass of functional groups (a) Lm, (b) E and (c) D identified according to Reynolds et al. (2002)

Le *groupe Lm* rassemble les taxons caractéristiques des épilimnions eutrophes bien stratifiés. Une diminution de leur biomasse de l'année 1975 à l'année 2023 est observée (Figure 7a).

Le groupe E, qui rassemble des taxons caractéristiques des milieux oligotrophes, présente une dynamique inverse avec une stabilisation depuis une dizaine d'années (Figure 7b). Ces dynamiques indiquent une réoligotrophisation durable de la masse d'eau.

Le groupe D rassemble les taxons indicateurs (dont *Ulnaria acus, Achnanthidium catenatum*) des milieux turbides et/ou de faible profondeur selon Reynolds et al. (2002). Depuis 2014, les biomasses de ces taxons sont élevées par rapport à l'ensemble de la chronique (Figure 7c). Ces taxons peuvent être indicateurs de fortes crues (e.g. des affluents principaux tel que le Rhône ou encore la Dranse), qui apportent temporairement des taxons benthiques dans la zone pélagique.

#### **BIBLIOGRAPHIE**

- AFNOR, 2006. NF EN 15204. Qualité de l'eau Norme guide pour le dénombrement du phytoplancton par microscopie inversée (méthode Utermöhl). Afnor: 41 pp.
- Bourrelly, P., 1972. Les Algues d'eau douce, Tome I: Les Algues vertes. 572pp.
- Bourrelly, P., 1981. Les Algues d'eau douce, Tome II: Les Algues jaunes et brunes. 517pp.
- Bourrelly, P., 1985. Les Algues d'eau douce, Tome III: Les Algues bleues et rouges. 606pp.
- Brettum, P., 1989. Algen als Indikatoren für die Gewässerqualität in norwegischen Binnenseen. Norsk Institutt for vannforskning NIVA, Norway: 102 pp.
- Druart, J.C. & Rimet F., 2008. Protocoles d'analyse du phytoplankton du l'INRA : prélèvement, dénombrement et biovolumes. INRA Thonon, Rapport SHL 283 2008, 96 pp.
- Kaiblinger, K., 2008. Water quality assessment in lakes with special focus on Phytoplankton indices used within the EU Water Framework Directive (WFD). Rapport I.L. 277/08, DEC0470, INRA Thonon, France. 45 pp.
- Kaiblinger, C., Anneville, O., Tadonleke, R., Rimet, F., Druart, J. C., Guillard, J. & Dokulil, M. T. 2009. Central European water quality indices applied to long-term data from peri-alpine lakes: test and possible improvements. Hydrobiologia 633: 67-74.
- Kilham, S.S., Kott, C.L., Tilman, D., 1977. Phosphate and Silicate Kinetics for the Lake Michigan Diatom Diatoma Elongatum. Journal of Great Lakes Research 3, 93–99. https://doi.org/10.1016/S0380-1330(77)72233-6
- Padisak, J., L. O. Crossetti, & L. Naselli-Flores, 2009. Use and misuse in the application of the phytoplankton functional classification: a critical review with updates. Hydrobiologia 621: 1–19.
- Reynolds, C. S., Huszar, V., Kruk, C., Naselli-Flores, L. & Melo, S. 2002. Toward a functional classification of the freshwater phytoplancton. J. Plankton Res. 24: 417-428.
- Rimet, F., Druart, J.C., Anneville, O., 2009. Exploring the dynamics of plankton diatom communities in Lake Geneva using emergent self-organizing maps (1974-2007). Ecological Informatics 4, 99–110.
- Russel-Hunter, 1970, Aquatic productivity, New-York.
- Schelske and E. F. Stoermer, 1971, Eutrophication, silica depletion, and predicted changes in algal quality in Lake Michigan. Science 173: 423-424.
- Utermöhl, H., 1958. Zür Vervollkommung der quantitative Phytoplankton Methodik. Mitt. Internat. Ver. Theor. Angew. Limnol. 9: 1-38.
- Weaver, W. & Shannon, C. E., 1949. The Mathematical Theory of Communication. Urbana, Illinois University of Illinois Press.
- Wolfram, G., Dokulil, M., Pall, K., Reichmann, M., Schulz, L., Argillier, C., de Bortoli, J., Martinez, J. P., Rioury, C., Hoehn, E., Riedmuller, U., Schaumburg, J., Stelzer, D., Buzzi, F., Dalmiglio, A., Morabito, G., Marchetto, A., Remec-Rekar, S.& Urbanic, G., 2007. Intercalibration Exercise, Technical Report + Annexes, Alpine GIG (Lakes). Vienna Ispra.

# **ANNEXES**

# ANNEXE 1. DÉFINITION DES GROUPES FONCTIONNELS SELON REYNOLDS ET AL. (2002)

JOURNAL OF PLANKTON RESEARCH | VOLUME 24 | NUMBER 5 | PAGES 417-428 | 2002

Table I: Trait-separated functional groups of phytoplankton (updated from Reynolds, 1997)

Codon	Habitat	Typical representatives	Tolerances	Sensitivities
A	Clear, often well-mixed,	Urosolenia,	Nutrient	pH rise
	base poor, lakes	Cyclotella comensis	deficiency	
3	Vertically mixed, mesotrophic	Aulacoseira subarctica	Light	pH rise,
	small-medium lakes	Aulacoseira islandica	deficiency	Si depletion
				stratification
	Mixed, eutrophic small-	Asterionella formosa	Light, C	Si exhaustion
	medium lakes	Aulacoseira ambigua	deficiencies	stratification
		Stephanodiscus rotula		
D	Shallow, enriched turbid	Synedra acus	Flushing	nutrient
	waters, including rivers	Nitzschia spp		depletion
	2	Stephanodiscus hantzschii		
V	mesotrophic epilimnia	Tabellaria	Nutrient	stratification
		Cosmarium	deficiency	pH rise
		Staurodesmus	V4-10-10-10-10-10-10-10-10-10-10-10-10-10-	
P	eutrophic epilimnia	Fragilaria crotonensis	Mild light and	stratification
		Aulacoseira granulata	C deficiency	Si depletion
		Closterium aciculare		47 PO CO 10 PO
		Staurastrum pingue		
т	deep, well-mixed epilimnia	Geminella	Light deficiency	Nutrient
	doop, troi minos opinimo	Mougeotia		deficiency
		Tribonema		
S1	turbid mixed layers	Planktothrix agardhii	highly light	flushing
	torbia mixed leyers	Limnothrix redekei	deficient	
		Pseudanabaena	conditions	
S2	shallow, turbid mixed layers	Spirulina	light	flushing
J.	Station, tarbic trixed layers	Arthrospira	deficient	nooning
		Raphidiopsis	conditions	
S <sub>N</sub>	warm mixed layers	Cylindrospermopsis	light-,nitrogen-	flushing
ON	Watti Mikod idyolo	Anabaena minutissima	deficient	g
		Andougha mindusamu	conditions	
Z	clear, mixed layers	Synechococcus	low nutrient	light deficiency
4	clear, mixed layers	prokaryote picoplankton	low flatherit	grazing
/2	shallow aloar mixed	Koliella	low base	mixing,
(3	shallow, clear, mixed			7.0
	layers	Chrysococcus	status	grazing
	- 1 - 10	eukaryote picoplankton		
X2	shallow, clear mixed layers	Plagioselmis	stratification	mixing,
/-	in meso-eutrophic lakes	Chrysochromulina	atratification	filter feeding
(1	shallow mixed layers in	Chlorella, Ankyra	stratification	nutrient deficiency
	enriched conditions	Monoraphidium	I C-4-8	filter feeding
Υ	usually, small, enriched	Cryptomonas	low light	phagotrophs!
9	lakes	Diaghasas	Tarra arrada 4-1	CO deficiency
1	usually small, oligotrophic,	Dinobryon	low nutrients	CO <sub>2</sub> deficiency
	base poor lakes or	Mallomonas	(resort to	
	heterotrophic ponds	(Synura)	mixotrophy)	300 defi-i
-	Clear epilimnia	colonial Chlorophytes	low nutrients	?CO <sub>2</sub> deficiency
		e.g. Botryococcus	high turbidity	
		Pseudosphaerocystis		
		Coenochloris		
		Oocystis lacustris		

# C.S .RE YNOLDS *ET AL.* FUNCTIONAL CLASSIFICATION OF FRESHWATER PHYTOPLANKTON

Table I: continued

Codon	Habitat	Typical representatives	Tolerances	Sensitivities
G	Short, nutrient-	Eudorina	high light	nutrient deficiency
	rich water columns	Volvox		
J	shallow, enriched lakes	Pediastrum, Coelastrum		settling into low
	ponds and rivers	Scenedesmus		light
		Golenkinia		
K	short, nutrient-rich	Aphanothece		deep mixing
	columns	Aphanocapsa		
H1	dinitrogen-fixing	Anabaena flos-aquae	low nitrogen	mixing, poor light,
	Nostocaleans	Aphanizomenon	low carbon,	low phosphorus
H2	dinitrogen-fixing	Anabaena lemmermanni	low nitrogen	mixing, poor light,
	Nostocaleans of	Gloeotrichia echinulata		
	larger mesotrophic lakes			
U	summer epilimnia	Uroglena	low nutrients	CO <sub>2</sub> deficiency
Lo	summer epilimnia in	Peridinium	segregated	prolonged or deep
	mesotrophic lakes	Woronichinia	nutrients	mixing
		Merismopedia		
L <sub>M</sub>	summer epilimnia in	Ceratium	very low C,	mixing, poor
	eutrophic lakes	Microcystis		stratification light
M	dielly mixed layers of small	Microcystis	high insolation	flushing, low total
	eutrophic, low latitude lakes	Sphaerocavum		light
R	metalimnia of mesotrophic	P. rubescens	low light, strong	instability
	stratified lakes	P. mougeotii	segregation	
V	metalimnia of eutrophic	Chromatium,	very low light,	instability
	stratified lakes	Chlorobium	strong	
			segregation	
W1	small organic ponds	Euglenoids, Synura	high BOD	grazing
		Gonium		
N2	shallow mesotrophic lakes	bottom-d welling	?	?
		Trachelomonas		
Ω	small humic lakes	Gonyostomum	high colour	?